

# 가우시안 정규기저를 이용한 $GF(2^m)$ 상의 워드-레벨 곱셈기

정회원 김 창 훈\*, 준회원 권 윤 기\*\*, 김 태 호\*, 정회원 권 순 학\*\*, 홍 춘 표\*

## Word Level Multiplier for $GF(2^m)$ Using Gaussian Normal Basis

Chang Hoon Kim\* *Regular Member*, Yun Ki Kwon\*\**,* Tae Ho Kim\* *Associate Members*,  
Soonhak Kwon, Chun Pyo Hong *Regular Members*

### 요 약

본 논문에서는 타원곡선 암호 시스템(Elliptic Curve Cryptosystem: ECC)을 위한  $GF(2^m)$ 상의 새로운 워드-레벨 곱셈기를 제안한다. 제안한 곱셈기는 원소표기법으로 가우시안 정규기저(Gaussian Normal Basis: GNB)를 이용하며,  $[m/w]$  클럭 사이클 마다 곱셈 연산의 결과를 출력한다. 여기서  $w$ 는 워드크기이다. 제안한 워드-레벨 곱셈기를 Xilinx XC2V1000 FPGA칩을 이용하여 구현한 후 기존에 제안된 워드-레벨 곱셈기와 성능을 비교 분석한 결과, 가장 낮은 최대 처리기 지연시간(critical path delay)을 가진다.

**Key Words** : Finite Field,  $GF(2^m)$  Multiplication, Word Level Multiplier, Gaussian Normal Basis, VLSI

### ABSTRACT

This paper presents a new word level multiplier over  $GF(2^m)$  for elliptic curve cryptosystem. The proposed multiplier uses Gaussian normal basis representation and produces multiplication results at a rate of one per  $[m/w]$  clock cycles, where  $w$  is the selected word size. We implement the proposed design using Xilinx XC2V1000 FPGA device. Our design has significantly less critical path delay compared with previously proposed hardware implementations.

### I. 서론

최근 유한체 연산은 오류제어 코드와 암호 시스템 등 다양한 분야에 응용되고 있다<sup>[1][3]</sup>. 이러한 응용에 사용되는 유한체는  $GF(p)$ ,  $GF(2^m)$ 이 있으며 여기서  $p$ 는 소수이다. 특히  $GF(2^m)$ 은  $GF(2)$ 의  $m$ 차원 확장 벡터로서 산술 연산에 있어 캐리가 발생하지 않기 때문에 하드웨어 구현에 적합하다.  $GF(2^m)$ 상의 중요한 연산으로는 덧셈, 곱셈, 지수, 역원 연

산이 있으며 덧셈 연산은 비트별 XOR 연산으로 쉽게 구현이 가능하지만 나머지 연산들은 매우 복잡하다. 특히  $GF(2^m)$ 상의 역원 연산은 면적 및 속도에 있어 가장 복잡한 연산이며 반복적인 곱셈 연산으로 이루어진다. 따라서 효율적인 곱셈기 구현은 필요하다.

$GF(2^m)$ 상의 산술 연산에 있어 덧셈과 뺄셈을 제외한 나머지 연산들은 기저의 선택에 따라 그 성능이 좌우된다. 대표적인  $GF(2^m)$ 의 원소표기법으로

※ 이 논문은 2005년도 정부(교육인적자원부)의 재원으로 한국학술진흥재단의 지원을 받아 수행된 연구임(KRF-2005-041-D00763).

\* 대구대학교 정보통신공학과(chkim@dsp.daegu.ac.kr, thkim@dsp.daegu.ac.kr, cphong@daegu.ac.kr)

\*\* 성균관대학교 수학과(drmath@skku.edu, shkwon@skku.edu)

논문번호 : KICS2006-08-336, 접수일자 : 2006년 8월 3일, 최종논문접수일자 : 2006년 2월 10일

다항식 기저(Polynomial Basis: PB)와 정규기저(Normal Basis: NB)가 있다. 각 원소표기법은 장점과 단점을 가지는데, NB를 이용할 경우  $A^{2^s}$  연산을 간단한  $s$ -비트 순환 쉬프트 연산으로 구현할 수 있는 반면 곱셈 연산이 매우 복잡하며 하드웨어 구조가 규칙적이지 못하다. PB를 이용한 산술 연산기(Arithmetic Unit: AU)의 하드웨어 구현은 서로 다른  $m$ 에 대해 높은 규칙성 및 확장성을 가진다. 이러한 이유로 NB 보다 PB를 이용한  $GF(2^m)$ 상의 AU에 관한 연구결과가 더 많이 발표되었다<sup>[4],[5]</sup>.

GNB는 NB의 특별한 경우로서 PB와 함께 IEEE 1363<sup>[1]</sup>, NIST<sup>[2]</sup> 등의 다양한 표준으로 채택되었으며, 8로 나누어떨어지지 않는 모든 양의 정수  $m$ 에 대하여 존재한다<sup>[1]</sup>. GNB는 정수  $k$ 에 의해 결정되며, GNB 타입  $k$ 라 부른다. 여기서 GNB 곱셈기의 속도 및 하드웨어 복잡도는  $k$ 에 의해 결정된다. Kwon 등<sup>[6]</sup>은  $GF(2^m)$ 상에서 GNB를 이용한 효율적인 비트-레벨 곱셈 알고리즘을 유도하였으며, GNB 타입 2, 4의 경우에 대해 VLSI 구조를 제안하였다.

$GF(2^m)$ 상의 곱셈기는 비트-시리얼 및 비트-패러럴 구조로 구분할 수 있는데 일반적으로 비트-패러럴 구조는 비트-시리얼 구조에 비해 데이터 처리속도가 빠르지만 하드웨어 복잡도가 높다는 단점이 있다. 이러한 면적 및 속도의 상충관계를 개선하기 위하여 워드-레벨 곱셈기가 제안되었다<sup>[7]-[9]</sup>. 워드-레벨 구조는 데이터를 일정한 크기의 워드 단위로 나눈 후, 워드 단위로 처리 및 전송하며 데이터 크기가  $m$ -비트이고 워드의 크기가  $w$ -비트이면 워드의 개수는  $L = \lceil m/w \rceil$  이 된다. 비트-시리얼 구조는  $m$  클럭 사이클마다 결과를 출력하지만, 워드-레벨 구조는  $L$ 클럭 사이클마다 결과를 출력한다. 워드-레벨 구조는 워드의 크기가 커질수록 연산 시간을 단축할 수 있으나 하드웨어 복잡도가 증가한다. 그러나 면적 및 속도를 만족시키는 가장 적합한 워드 크기를 찾는다면 연산시간 및 하드웨어 복잡도에 있어 상충 관계를 개선할 수 있다.

본 논문에서는 ECC를 위한  $GF(2^m)$ 상의 새로운 워드-레벨 곱셈기를 제안한다. 제안한 곱셈기는 원소표기법으로 GNB를 이용하며,  $\lceil m/w \rceil$  클럭 사이클 마다 곱셈 연산의 결과를 출력한다. 여기서  $w$ 는 워드크기이다. 제안한 워드-레벨 곱셈기를 Xilinx XC2V1000 FPGA 칩을 이용하여 구현한 후 기존에 제안된 워드-레벨 곱셈기와 성능을 비교 분석한 결과, 가장 낮은 최대 처리기 지연시간(critical path delay)을 가진다. 또한 기존의 곱셈기는 선택된 원

시 기약 다항식에 따라 서로 다른 하드웨어 구조를 가지지만 본 논문에서 제안된 곱셈기는 동일한 GNB 타입만 가지면 동일한 형태의 하드웨어 구조를 얻을 수 있다. 제안한 곱셈기의 최대 처리기 지연시간 및 하드웨어 복잡도는 GNB의 타입  $k$ 와  $w$ 에 의존하기 때문에  $w$ 의 선택에 따라 속도 및 면적에 있어 상충관계를 개선할 수 있다.

본 논문의 구성은 다음과 같다. 2절에서 GNB 타입  $k$ 를 이용한  $GF(2^m)$ 상의 곱셈 알고리즘을 알아본 후 3절에서 GNB를 이용한  $GF(2^m)$ 상의 워드-레벨 곱셈기를 설계한다. 4절에서는 본 논문에서 제안한 워드-레벨 곱셈기의 FPGA 구현 결과와 기존에 제안된 곱셈기들의 성능을 비교 분석한다. 끝으로 5절에서 결론을 맺는다.

## II. GNB를 타입 $k$ 를 이용한 $GF(2^m)$ 상의 곱셈 알고리즘

### 2.1 $GF(2^m)$ 의 GNB 타입 $k$

$m, k$ 를 소수  $p \neq 2$ 에 대해,  $p = mk + 1$ 인 양의 정수라 하고,  $K = \langle \tau \rangle$ 는  $GF(p)$ 상에서 위수(order)  $k$ 인 유일한 부분군이라 하자.  $\beta$ 가  $GF(2^{mk})$ 의  $p$ 번째 원시근이라 하면, 아래 원소

$$\alpha = \sum_{j=0}^{k-1} \beta^{p^j} \quad (1)$$

을  $GF(2)$ 상의 타입  $(m, k)$  가우스 주기(gauss period)라 한다.  $Ord_p 2$ 를 mod  $p$ 에 대한 2의 위수라 하고,  $\gcd(mk / Ord_p 2, m) = 1$ 이라고 가정하면,  $\alpha$ 는  $GF(2^m)$ 상의 정규 원소이다. 즉,  $0 \leq i \leq m-1$ 에 대해,  $\alpha = \alpha^{2^i}$ 라 놓으면,  $\{\alpha, \alpha^2, \alpha^4, \dots, \alpha^{2^{m-1}}\}$ 은  $GF(2)$ 상의  $GF(2^m)$ 에 대한 기저이고, 이를  $GF(2^m)$ 의 GNB 타입  $k$ 라 부른다.  $K = \langle \tau \rangle$ 가 순환군  $GF(p)$ 상의 위수  $k$ 인 부분군이기에 때문에, 잉여군(quotient group)  $GF(p)^{\times} / K$ 는 위수  $m$ 인 순환군이요, 군의 생성원은  $2K$ 이다. 따라서  $GF(p)^{\times}$ 의 coset decomposition을 식 (2)와 같이 disjoint union으로 나타낼 수 있다.

$$GF(p)^{\times} = K_0 \cup K_1 \cup K_2 \cup \dots \cup K_{m-1} \quad (2)$$

여기서  $K_i = 2^i K$  ( $0 \leq i \leq m-1$ )이고  $GF(p)^{\times}$ 의 모든 원소는 임의의  $0 \leq s \leq k-1$ 과  $0 \leq t \leq m-1$ 에 대해  $t2^s$ 로 유일하게 표현되고,  $0 \leq i \leq m-1$ 에 대해 식 (3)을 얻을 수 있다.

$$\alpha\alpha_i = \sum_{s=0}^{k-1} \beta^s \sum_{t=0}^{k-1} \beta^{t^2} = \sum_{s=0t=0}^{k-1k-1} \beta^{s^2(1+t^2)} \quad (3)$$

$$= \sum_{s=0t=0}^{k-1k-1} \beta^{s^2(1+t^2)}$$

예제로  $GF(2^7)$ 이 GNB 타입 4라 하자. 여기서  $m=7, k=4$ 이다. 즉,  $p=29=mk+1$ 이다. 이 경우  $GF(29)^x$ 상에서 위수 4인 유일한 순환군은  $K=\{1, 2^7, 2^{14}, 2^{21}\}=\{1, 12, 28, 17\}$ 이다. 여기서  $\beta$ 를  $GF(2^{28})$ 상에서 29번째 원시근이라 하고,  $\tau=12$ 로 두면,  $GF(2^7)$ 상의 정규 원소  $a$ 는  $a=\beta+\beta^2+\beta^7+\beta^{28}$ 로 표현되고,  $\{a_0, a_1, \dots, a_6\}$ 는 NB이다.  $0 \leq i \leq 6$ 에 대해,  $aa_i$ 의 계산은 표 1로부터 얻을 수 있다. 각 블록  $K$ 와  $K'$ 는 엔트리  $(s, t)$  ( $0 \leq s \leq 3, 0 \leq t \leq 6$ )에 대해 각각  $\beta^{2^s}$ 와  $1+\beta^{2^t}$ 의 값을 가진다.

표 1.  $GF(2^7)$ 상에서 GNB 타입 4를 이용한  $K_i$ 와  $K'_i$ 의 계산

$K_0$	$K_1$	$K_2$	$K_3$	$K_4$	$K_5$	$K_6$	$K'_0$	$K'_1$	$K'_2$	$K'_3$	$K'_4$	$K'_5$	$K'_6$
1	2	4	8	16	3	6	2	3	5	9	16	4	7
12	24	19	9	18	7	14	13	25	20	10	19	8	15
28	27	25	21	13	26	23	0	28	26	22	14	27	24
17	5	10	20	11	22	15	18	6	11	21	12	23	16

표 1로부터  $aa_0=a_1$ 이고, 나머지 부분은 식 (4)와 같다.

$$\begin{aligned} aa_1 &= a_0 + a_2 + a_5 + a_6, \\ aa_2 &= a_1 + a_3 + a_4 + a_5, \\ aa_3 &= a_2 + a_6, \\ aa_4 &= a_2 + a_5, \\ aa_5 &= a_0 + a_2 + a_5 + a_6, \\ aa_6 &= a_1 + a_3 + a_4 + a \end{aligned} \quad (4)$$

예를 들어, 블록  $K_2'$ 에 대한  $aa_2$ 는 다음과 같이 나타낼 수 있다. 블록  $K_2'$ 의 원소는 5, 20, 26, 11이며  $K_i$  블록들의  $5 \in K_1, 20 \in K_3, 26 \in K_5, 11 \in K_4$ 에서 찾을 수 있다. 따라서  $aa_2 = a_1 + a_3 + a_4 + a_5$ 이다. 식 (4)로부터 곱셈 행렬  $(\lambda_{ij})$ 은 식 (5)와 같다.

$$(\lambda_{ij}) = \begin{pmatrix} 0 & 1 & 0 & 0 & 0 & 0 & 0 \\ 1 & 0 & 1 & 0 & 0 & 1 & 1 \\ 0 & 1 & 0 & 1 & 1 & 1 & 0 \\ 0 & 0 & 1 & 0 & 0 & 1 & 0 \\ 0 & 0 & 1 & 0 & 0 & 0 & 1 \\ 0 & 1 & 1 & 1 & 0 & 0 & 1 \\ 0 & 1 & 0 & 0 & 1 & 1 & 1 \end{pmatrix} \quad (5)$$

## 2.2 GNB를 이용한 $GF(2^m)$ 상의 비트-레벨 곱셈 알고리즘

$A = \sum_{i=0}^{m-1} a_i \alpha_i, B = \sum_{j=0}^{m-1} b_j \alpha_j$ 를  $GF(2^m)$ 상의 두 원소라 하면, 두 원소의 곱  $C = AB = \sum_{s=0}^{m-1} c_s \alpha_s$ 는 식 (6)과 같다.

$$\begin{aligned} C &= \sum_{i=0}^{m-1} a_i \alpha_i \sum_{j=0}^{m-1} b_j \alpha_j = \sum_{i,j} a_i b_j \alpha_i \alpha_j \\ &= \sum_{i,j} a_i b_j \sum_{s=0}^{m-1} \lambda_{ij}^{(s)} = \sum_{s=0}^{m-1} \left( \sum_{i,j} a_i b_j \lambda_{ij}^{(s)} \right) \alpha_s \end{aligned} \quad (6)$$

또한 Kwon<sup>[15]</sup>의 보조 정리 1로부터  $C = \sum_{s=0}^{m-1} c_s \alpha_s$ 의 계수  $c_s$ 는

$$\begin{aligned} c_s &= \sum_{i,j} a_{i+s} b_{j+s} \lambda_{ij}^{(0)} = \sum_{i,j} a_{i+s} b_{j+s} \lambda_{ij} \\ &= \sum_{j=0}^{m-1} \left( \sum_{i=0}^{m-1} a_{i+s} \lambda_{ij} \right) b_{j+s} \end{aligned} \quad (7)$$

와 같다.  $m \times m$ 행렬  $X=(x_{st})$ 에 대해  $GF(2)$ 상의 원소  $x_{st}, 0 \leq s, t \leq m-1$ 을 식 (8)과 같이 정의하면,

$$x_{st} = \left( \sum_{i=0}^{m-1} a_{i+s} \lambda \right) b_{t+s} \quad (8)$$

$X$ 의  $t$ 번째 열벡터  $X_t$ 는 식 (9)와 같다.

$$X_t = (x_{0t}, x_{1t}, \dots, x_{m-1,t})^T \quad (9)$$

여기서  $(x_{0t}, x_{1t}, \dots, x_{m-1,t})^T$ 는 행벡터  $(x_{0t}, x_{1t}, \dots, x_{m-1,t})$ 의 전치 행렬이다. 또한  $\sum_{t=0}^{m-1} x_{st} = c_s$ 이기 때문에 모든 열벡터  $X_t, t=0, 1, \dots, m-1$ 의 합은 식 (10)과 같다.

$$(c_0, c_1, \dots, c_{m-1})^T \quad (10)$$

여기서  $m-1=2v$ 라 하고  $Y=(y_{st})$ 를  $X$ 의 열벡터 치환에 의한  $m \times m$ 행렬이라 정의하면,  $v$ 가 홀수일 때  $Y$ 는 식 (11)과 같이 정의되고,

$$\begin{aligned} Y &= (X_v, \dots, X_3, X_1, X_{m-1}, X_{m-3}, \dots, X_{m-v}, X_{v-1}, \dots, \\ &X_2, X_0, X_{m-2}, \dots, X_{m-v+1}) \end{aligned} \quad (11)$$

$v$ 가 짝수일 때,  $Y$ 는 식 (12)와 같이 정의된다.

$$\begin{aligned} Y &= (X_v, \dots, X_2, X_0, X_{m-2}, \dots, X_{m-v}, X_{v-1}, \dots, \\ &X_3, X_1, X_{m-1}, X_{m-3}, \dots, X_{m-v+1}) \end{aligned} \quad (12)$$

여기서,  $Y_t=(y_{0t}, y_{1t}, \dots, y_{m-1,t})^T$ 인  $Y$ 의 모든 열벡터  $Y_t, t=0, 1, \dots, m-1$ 의 합은  $(c_0, c_1, \dots, c_{m-1})^T$ 인  $X$ 의 모든 열

벡터  $X_t, t=0,1,\dots,m-1$ 의 합과 같다. 따라서 패러럴 입출력 곱셈기를 설계하기 위해  $Y$ 의 열벡터 합을 계산하는 대신  $Y$ 의 순환 쉬프트된 대각 벡터의 합을 계산한다. 즉, 행렬  $Y$ 의 표현에서 벡터  $X_t$ 와  $X_{m-t}$  사이에 정확히  $t-1$ 개의 열이 존재한다. 또한  $X_t$ 의  $s$  번째 원소와  $X_{m-t}$ 의  $s+t$  번째 원소는 그들의 가수 (summand)에서 동일한  $a_s$ 를 가진다. 즉, 식 (8)로부터 식 (13)을 얻을 수 있다.

$$\begin{aligned} x_{s+t,m-t} &= \left( \sum_{i=0}^{m-1} a_{i+s+t} \lambda_{i,m-t} \right) b_s \\ &= \left( \sum_{i=0}^{m-1} a_{i+s} \lambda_{i-t,m-t} \right) b_s \\ &= \left( \sum_{i=0}^{m-1} a_{i+s} \lambda \right) b_s \end{aligned} \quad (13)$$

여기서  $x_{st}$ 와  $x_{s+t,m-t}$ 는 같은 항  $\sum_{i=0}^{m-1} a_{i+s} \lambda$ 를 가지며 이는  $AB$ 의 계산에 있어 사용되는 XOR 게이트의 개수를 줄인다. 지금까지 설명한 내용을 바탕으로 [알고리즘 1]를 얻을 수 있다.

---

[알고리즘 1] GNB를 이용한 GF(2<sup>m</sup>)상의 비트-레벨 곱셈 알고리즘<sup>[6]</sup>

---

Input :  $A, B \in GF(2^m)$   
 Output :  $D, D_i = c_i$  for all  $0 \leq i \leq m-1$ ,  
 where  $AB = \sum_{i=0}^{m-1} c_i \alpha_i$   
 Initial :  $A \leftarrow (a_0, a_1, \dots, a_{m-1})$   
 $B \leftarrow (b_0, b_1, \dots, b_{m-1})$   
 $D \leftarrow (D_0, D_1, \dots, D_{m-1}) \leftarrow (0, 0, \dots, 0)$

1. for  $0 \leq t \leq m-1$
2. for  $0 \leq s \leq m-1$
3.  $D_{s+t+1} \leftarrow y_{s,s+t} + D_{s+t}$
4. end for
5. end for
6. return  $D$

---

### III. GNB를 이용한 GF(2<sup>m</sup>)상의 새로운 워드-레벨 곱셈기

#### 3.1 GNB를 이용한 GF(2<sup>m</sup>)상의 워드-레벨 곱셈 알고리즘

[알고리즘 1]로부터 비트-시리얼 또는 비트-패러럴 곱셈기를 쉽게 유도 할 수 있다. 그러나 비트-시리얼 구조는 속도가 너무 느리고 비트-패러럴 구조는 큰  $m$ (최소 163)을 요구하는 ECC와 같은 응용에

는 적합하지 않다. 이러한 이유로 많은 타원곡선 암호 프로세서들은 워드-레벨 곱셈기를 채택하였다<sup>[5],[10]</sup>. 워드-레벨 구조는 데이터 크기가  $m$ -비트이고 워드의 크기가  $w$ -비트이면 워드의 개수는  $L = \lceil m/w \rceil$  이 되고  $L$ 클럭 사이클마다 결과를 출력한다. [알고리즘 1]로부터 [알고리즘 2]와 같은 GF(2<sup>m</sup>)상의 워드-레벨 곱셈 알고리즘을 얻을 수 있다.

---

[알고리즘 2] GNB를 이용한 GF(2<sup>m</sup>)상의 워드-레벨 곱셈 알고리즘

---

Input :  $A, B \in GF(2^m)$   
 Output :  $D = (D_0, D_1, \dots, D_{m-1})$ ,  
 $D_s = c_s$  for all  $0 \leq s \leq m-1$ ,  
 where  $AB = \sum_{s=0}^{m-1} c_s \alpha_s$   
 Initial :  $A \leftarrow (a_0, a_1, \dots, a_{m-1})$   
 $B \leftarrow (b_0, b_1, \dots, b_{m-1})$   
 $D \leftarrow (D_0, D_1, \dots, D_{m-1}) \leftarrow (0, 0, \dots, 0)$

1. for  $0 \leq t \leq L-2$
2. for  $0 \leq s \leq m-1$
3.  $D_{s+(t+1)w-\gamma} \leftarrow y_{s,s+tw} + y_{s,s+tw+1} + \dots + y_{s,s+tw+(w-1)} + D_{s+tw-\gamma}$
4. end for
5. end for
6.  $t = L-1$
7. for  $0 \leq s \leq m-1$
8.  $D_{s+(t+1)w-\gamma} \leftarrow y_{s,s+tw} + y_{s,s+tw+1} + \dots + y_{s,s+tw+(w-1)} + D_{s+tw-\gamma}$
9. end for
10. return  $D$

$\gamma = L \cdot w - m, L = \lceil m/w \rceil$

---

[알고리즘 2]에서  $0 \leq t \leq L-2$ 일 때, 모든  $0 \leq s \leq m-1$ 에 대한  $w+1$ 개의 항( $y_{s,s+tw} + y_{s,s+tw+1} + \dots + y_{s,s+tw+(w-1)} + D_{s+tw-\gamma}$ )은 동시에 계산된다. 하지만  $t=L-1$ 일 때는  $\gamma$ 개의 블록이  $t=0$ 일 때의 원소와 중복되므로 모든  $0 \leq s \leq m-1$ 에 대한  $w-\gamma+1$ 개의 항( $y_{s,s+tw} + y_{s,s+tw+1} + \dots + y_{s,s+tw+(w-1)-\gamma} + D_{s+tw-\gamma}$ )이 동시에 계산된다. 즉, 고정된  $s$ 에 대한 마지막 출력값  $D_s$ 는 다음 식과 같이 연속적으로 계산된다.

$$\begin{aligned} D_s &= \overbrace{y_{s,s} + y_{s,s+1} + \dots + y_{s,s+(w-1)} + y_{s,s+w} + y_{s,s+w+1} + \dots + y_{s,s+2w-1}}^{D_{s+w}} \\ &+ y_{s,s+2w} + \dots + y_{s,s+m-1} = \sum_{i=0}^{m-1} y_{s,s+i} = c_s \end{aligned} \quad (14)$$

NIST에 의해 권고된  $GF(2^m)$ 상의 필드 크기가 소수이기 때문에 항상  $\gamma \neq 0$ 이며 연산의 마지막 반복에서 중복되는 계산을 피하기 위해  $m \cdot \gamma$  항이 구분되어 수행되어야한다. 여기서  $m \cdot \gamma$  항은 [알고리즘 2]의  $L$ -번째 단계에서 계산되기 때문에 규칙적인 하드웨어 구조 설계를 어렵게 한다. 즉, 하드웨어 구조는 [알고리즘 2]의 단계 3, 8을 수행하기 위해 각각 다르게 설계되어야 한다. 본 논문에서는 이러한 문제를 해결하기 위해  $L$ 길이의 컨트롤 신호(111, ..., 10)를 사용한다. 보다 자세한 설명은 2절에 기술한다.

### 3.2 GNB 타입 4를 이용한 $GF(2^m)$ 상의 워드-레벨 곱셈기 설계

$$\begin{aligned}
 c_0 &= (a_5 + a_6)b_5 + a_{9256}b_1 + a_{1456}b_6 + (a_2 + a_6)b_4 + a_{1345}b_2 + a_1b_3 + a_{1236}b_5 \\
 c_1 &= (a_5 + a_6)b_4 + a_{1360}b_2 + a_{2560}b_7 + (a_3 + a_6)b_5 + a_{2456}b_3 + a_2b_1 + a_{2340}b_6 \\
 c_2 &= (a_5 + a_6)b_3 + a_{2401}b_5 + a_{3601}b_1 + (a_4 + a_1)b_2 + a_{3560}b_4 + a_3b_5 + a_{3451}b_0 \\
 c_3 &= (a_5 + a_1)b_6 + a_{3512}b_4 + a_{4012}b_2 + (a_6 + a_2)b_0 + a_{4601}b_3 + a_4b_5 + a_{4562}b_1 \\
 c_4 &= (a_5 + a_2)b_0 + a_{4623}b_5 + a_{5123}b_3 + (a_6 + a_3)b_1 + a_{5012}b_6 + a_5b_4 + a_{5603}b_2 \\
 c_5 &= (a_5 + a_3)b_1 + a_{5034}b_6 + a_{6234}b_4 + (a_6 + a_4)b_2 + a_{6123}b_0 + a_6b_5 + a_{6014}b_3 \\
 c_6 &= (a_5 + a_4)b_2 + a_{6145}b_6 + a_{6345}b_5 + (a_1 + a_6)b_3 + a_{6231}b_1 + a_0b_5 + a_{6125}b_4
 \end{aligned} \tag{15}$$

예제로  $w=2$ 인  $GF(2^7)$ 상의 워드-레벨 곱셈기를 설계한다. 식 (5)의 곱셈 행렬과 식 (7), (8), (11), (12)로부터 곱셈 결과  $C=AB=\sum_{i=0}^6 c_i \alpha_i$ 는 식 (15)와 같이 얻을 수 있다. 식 (15)의 밑줄은  $w=2$ ,  $a_{ijkl}$ 는  $a_i + a_j + a_k + a_l$ 을 의미한다. 그림 1은  $w=2$ 에 대하여  $GF(2^7)$ 상에서 GNB 타입 4를 이용한  $C=AB$ 에 대응되는 쉬프트 레지스터 회로이고, 그림 2는 그림 1의  $f_j$  블록 구조를 나타낸다. 밑줄 친 두 개의 원소를 XOR 연산하여 레지스터에 저장하며 밑줄 친 원소의 첫 번째 항은  $a_i$ 의 공통된 항을 가지는 주대각 원소를 계산하는  $f_0$  블록이고, 두 번째

항은 주대각 원소의 벡터  $a_i, b_i$ 를 한 번 순환 쉬프트하여 계산하는  $f_i$  블록이다. 워드-레벨 구조에서는 한 클럭 사이클마다  $w=2$ 개의 원소를 연산하므로  $A, B, R$  레지스터는  $w$  크기만큼 순환 쉬프트하며  $L=4$  클럭 사이클 후에 모든 연산이 끝나고 결과가 출력된다.  $m$ 이 홀수이기 때문에 두 개의 원소씩 처리하면 마지막 클럭 사이클의 연산에 중복되는 원소가 나타나며 이를 회피해야 한다. 워드의 크기  $w$ 에 따라 중복되는 원소의 개수  $w \cdot \gamma$ 도 다르게 나타나며 중복되는 원소의 개수만큼 마지막 클럭 사이클에서 연산을 회피해야 한다. 그림 1의 곱셈기는 (1,1,1,0)의 제어 신호를 사용하여 마지막 제어 신호에서 중복되는 값을 회피한다. 또한  $m/w$ 가 정수가 아니기 때문에 곱셈 결과 레지스터  $R_i$ 는 정확한  $c_i$ 를 가지지 않는다. 따라서 정확한 출력을 위해  $R_i$ 는  $\gamma$ 만큼의 순환 쉬프트가 필요하다.

### IV. FPGA 구현 및 성능분석

본 논문에서 제안한  $GF(2^m)$ 상의 워드-레벨 곱셈기의 FPGA 구현 및 기능 검증을 위해 VHDL로 회로를 기술하였고, Xilinx사의 ISE 6.3i를 이용하여 회로를 합성한 후 Mentor Graphics사의 Model Sim을 이용하여 그 기능을 검증하였다. 정확한 기능 검증을 한 후 리버트론사의 SoC(System-on-Chip) 테스트 보드를 이용하여 FPGA에 워드-레벨 곱셈기를 구현하였다. 테스트 보드는 ARM7TDMI 마이크로프로세서와 Xilinx XC2V1000 FPGA칩을 탑재하고 있으며, 최대 50MHz의 클럭 주파수를 지원한다.

표 2에는 기존에 제안된 워드-레벨 곱셈기와 성능을 비교하였고 표 3에 제안된 워드-레벨 곱셈기의

표 2. ONB 타입 II에 대한 워드-레벨 곱셈기 비교

Multipliers	Critical Delay	#AND	#XOR	#FF	Output
제안된 곱셈기	$2T_A + (1 + \lceil \log_2(w+1) \rceil)T_X$	$wm+m$	$w(3m-1)/2$	$3m$	parallel
DLMO <sup>[13]</sup>	$T_A + (1 + \lceil \log_2(2m-1) \rceil)T_X$	$w(2m-1)$	$w(2m-2)$	$2m$	serial
IMO <sup>[14]</sup>	$T_A + (1 + \lceil \log_2 m \rceil)T_X$	$wm$	$w(2m-2)$	$2m$	serial
AEDS <sup>[11]</sup>	$T_A + (\lceil \log_2(2m-1) \rceil)T_X$	$w(m-0.5w+0.5)$	$w(3m-d-1)$	$2m$	serial
XEDS <sup>[11]</sup>	$T_A + (\lceil \log_2(2m-1) \rceil)T_X$	$w(2m-w)$	$w(2m-0.5w-1.5)$	$2m$	serial
w-SMPOI <sup>[12]</sup>	$2T_A + (3 + \lceil \log_2(w-1) \rceil)T_X$	$w(m+1)/2+m$	$w(2m-1)$	$3m$	parallel
w-SMPOII <sup>[12]</sup>	$2T_A + (3 + \lceil \log_2(w-1) \rceil)T_X$	$wm+m$	$w(3m-1)/2$	$3m$	parallel

표 3. GNB 타입  $k$ 에 대한 그림 1 곱셈기의 성능 분석

Critical Delay	#AND	#XOR	#FF	Output
$\leq 2T_A + (\lceil \log_2 k \rceil + \lceil \log_2(w+1) \rceil)T_X$	$wm + \gamma m$	$\leq wm + w(m-1)(k-1)/2$	$3m$	parallel

$\gamma \approx L \cdot w - m, L = \lceil m/w \rceil$

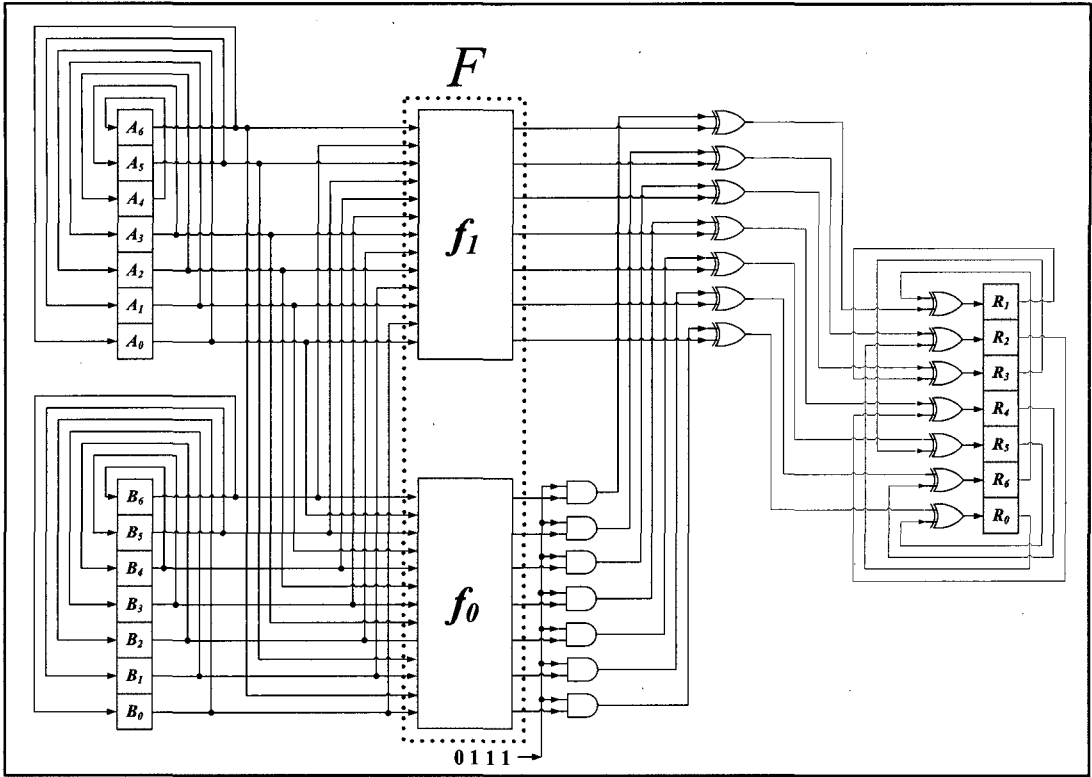


그림 1.  $m=7, w=2$ 에 대한  $GF(2^m)$ 상의 GNB 타입 4 곱셈기

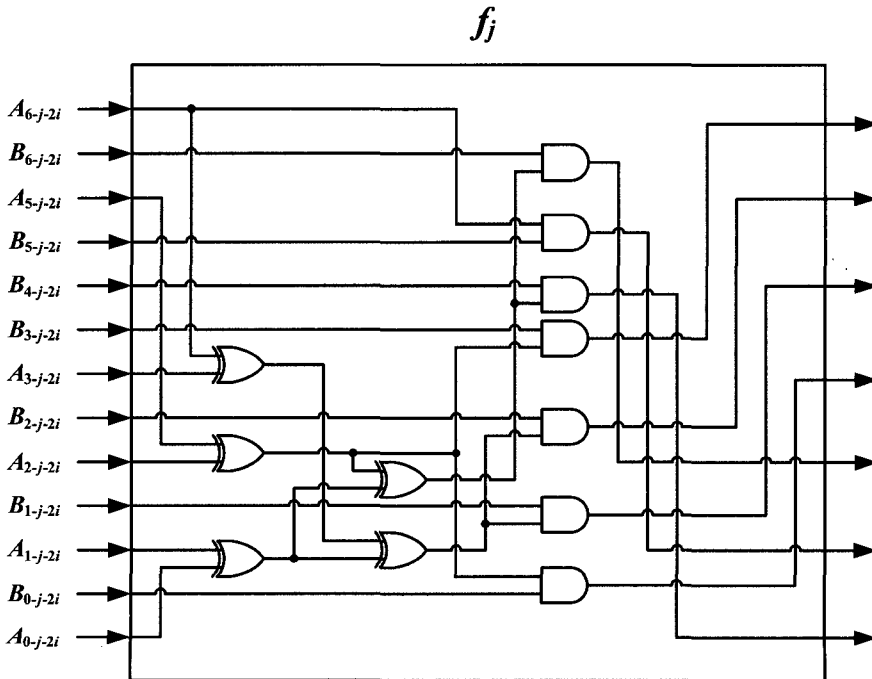


그림 2. 그림 1의  $f_j$

일반적인 GNB 타입에 대한 성능을 요약하였다. 표 4에는 ECC를 위하여 NIST에서 권고하는  $GF(2^m)$  필드 크기 중에서 가장 작은  $m=163$ 을 선택하고 다양한  $w$ 에 대한 FPGA 구현결과를 요약하였다. 표 2에서 기존의 곱셈기는 최적 정규기저(Optimal Normal Basis: ONB)를 사용하기 때문에 본 논문에서 제안된 곱셈기의 GNB 타입 2와 비교하였다. 표 2에 나타나듯이 본 논문에서 제안된 곱셈기가 시리얼 출력 형태를 가지는 곱셈기들 보다 총 게이트수가 적으며 모든 곱셈기와 비교했을 때 가장 낮은 처리기 지연 시간을 보인다. 제안된 워드-레벨 곱셈기는 이론적으로 타입  $k$ 에 대해 처리 지연 시간이  $2T_A + (\lceil \log_2 k \rceil + \lceil \log_2 w + 1 \rceil)T_X$ 이고  $wm + \lceil m/k \rceil$ 개의 AND 게이트,  $wm + w(m-1)(k-1)/2$ 개의 XOR 게이트,  $3m$ 개의 Flip-Flop(FF)이 필요하다. 여기서  $T_A$ 는 2-입력 AND 게이트 지연시간이고  $T_X$ 는 2-입력 XOR 게이트의 지연시간이다.

표 4.  $m=163$ 에 대한 그림 1 곱셈기의 구현 결과

w	LUT 개수	FF 개수	최대동작 주파수(MHz)
8	2113	489	197.873MHz
16	5127	489	171.807MHz
32	8927	489	149.058MHz
64	18901	489	142.248MHz

### V. 결론

본 논문에서는 Kwon 등<sup>[6]</sup>에 의해 제안된  $GF(2^m)$ 상의 비트-레벨 곱셈 알고리즘을 기반으로  $GF(2^m)$ 상의 워드-레벨 곱셈 알고리즘을 유도하였으며, 이를 바탕으로 GNB를 이용한  $GF(2^m)$ 상의 워드-레벨 곱셈기를 설계하였다. 또한 ECC를 위해  $m=163$ 을 선택하고 다양한  $w$ 에 대해 FPGA를 구현한 후 성능을 측정하였다. 본 논문에서 제안된 곱셈기와 기존에 제안된 곱셈기의 성능을 비교 분석한 결과, 가장 낮은 최대 처리기 지연시간을 보였다. 더욱이 기존의 곱셈기는 선택된 원시 기약 다항식에 따라서 다른 하드웨어 구조를 가지는데 반해 본 논문에서 제안된 곱셈기는 동일한 GNB 타입만 가지면 동일한 형태의 하드웨어 구조를 얻을 수 있다. 따라서 본 논문에서 제안된 워드-레벨 곱셈기는 ECC의 곱셈기로 매우 적합하다 할 수 있다.

### 참 고 문 헌

[1] IEEE 1363, *Standard Specifications for*

*Publickey Cryptography*, 2000.

[2] NIST, Recommended elliptic curves for federal government use, May 1999. <http://csrc.nist.gov/encryption>.

[3] A. Reyhani-Masoleh and M.A. Hasan, "A New Construction of Massey-Omura Parallel Multipliers over  $GF(2^m)$ ," *IEEE Transactions on Computers*, Vol. 51, No. 5, pp. 511-520, May. 2002.

[4] M.C. Rosner, "Elliptic Curve Cryptosystems on Reconfigurable Hardware," *MA thesis, Worcester Polytechnic Institute*, 1998.

[5] G. Orlando and C. Parr, "A High Performance Reconfigurable Elliptic Curve Processor for  $GF(2^m)$ ," *CHES 2000, LNCS 1965*, 2000.

[6] S. Kwon, K. Gaj, C.H. Kim, and C.P. Hong, "Efficient Linear Array for Multiplication in  $GF(2^m)$  Using a Normal Basis for Elliptic Curve Cryptography," *CHES 2004, LNCS 3156*, pp. 76-91, 2004.

[7] J.R. Goodman, Energy Scalable Reconfigurable Cryptographic Hardware for Portable Applications, PhD thesis, MIT, 2000.

[8] J.H. Guo and C.L. Wang, "Digit-Serial Systolic Multiplier for Finite Field  $GF(2^m)$ ," *IEE Proc. Comput. Digit. Tech.*, vol. 145, no 2, pp. 143-148, Mar. 1999.

[9] C.H. Kim, S.D. Han and C.P. Hong, "An Efficient Digit-Serial Systolic Multiplier for Finite Field  $GF(2^m)$ ," *Proc. on 14th Annual IEEE International Conference of ASIC/SOC*, pp. 361-365, 2001.

[10] N. Gura, S.C. Shantz, H.E. Sumit Gupta, V. Gupta, D. Finchelstein, E. Goupy, and D. Stebila, "An End-to-End Systems Approach to Elliptic Curve Cryptography," *CHES '02, LNCS 2523*, pp. 349-365, 2002.

[11] A. Reyhani-Masoleh and M.A. Hasan, "Efficient Digit-Serial Normal Basis Multipliers over  $GF(2^m)$ ," *ACM Trans. Embedded Computing Systems (TECS)*, special issue on embedded systems and security, vol. 3, no. 3, pp. 575-592, Aug. 2004.

[12] A. Reyhani-Masoleh and M.A. Hasan, "Low Complexity Word-Level Sequential Normal

Basis Multipliers," *16th IEEE Transactions on Computers*, vol. 54, No 2, pp. 98-110, 2005.

- [13] J. L. Massey and J.K. Omura, "Computational method and apparatus for finite field arithmetic," *US Patent No. 4587627*, 1986.
- [14] L. Gao and G.E. Sobelman, "Improved VLSI Designs for Multiplication and Inversion in  $GF(2^M)$  over Normal Bases," *Proc. 13th Ann. IEEE Int'l ASIC/SOC Conf.*, pp.97-101, 2000.

김 창 훈 (Chang Hoon Kim)

정회원



2001년 2월 대구대학교 컴퓨터 정보공학부, 학사  
 2003년 2월 대구대학교 컴퓨터 정보공학과, 석사  
 2006년 8월 대구대학교 컴퓨터 정보공학과, 박사  
 2006년 9월~현재 대구대학교 정

보통신공학과 BK21, 연구교수

<관심분야> 암호 시스템, Embedded System, RFID/USN 보안

권 윤 기 (Yun Ki Kwon)

준회원



2001년 2월 대진대학교 수학과, 학사  
 2003년 8월 성균관대학교 수학과, 석사  
 2003년 9월~현재 성균관대학교 수학과, 박사과정

<관심분야> 공개키 암호시스템,

암호시스템 구현, 타원곡선 암호시스템, Pairing 기반 암호시스템

김 태 호 (Tae Ho Kim)

준회원



2006년 2월 대구대학교 컴퓨터 IT공학부, 학사

2006년 3월~현재 대구대학교 정보통신공학과, 석사과정

<관심분야> 암호 시스템, Embedded System, RFID/USN 보안

권 순 학 (Soonhak Kwon)

정회원



1990년 2월 KAIST 수학과, 학사

1992년 2월 서울대학교 수학과, 석사

1997년 5월 Johns Hopkins University, 박사

1998년 3월~현재 성균관대학교 수학과, 부교수

<관심분야> 정수론, 암호론, Cryptographic Hardware

홍 춘 표 (Chun Pyo Hong)

정회원



1978년 2월 경북대학교 전자공학과, 학사

1986년 12월 Georgia Institute of Technology ECE, 석사

1991년 12월 Georgia Institute of Technology ECE, 박사

1994년 9월~현재 대구대학교 정

보통신공학과, 교수

<관심분야> DSP 하드웨어 및 소프트웨어, 컴퓨터 구조, VLSI 신호처리, Embedded System